

# ВЛИЯНИЕ ФОРМЫ МАЛОГО КОСМИЧЕСКОГО ТЕЛА НА ПРОЦЕСС ЕГО ФРАГМЕНТАЦИИ В АТМОСФЕРЕ ПЛАНЕТЫ

А. Г. Иванов, В. А. Рыжанский

РФЯЦ, ВНИИ экспериментальной физики, 607190 Саров

Рассмотрен процесс фрагментации малого космического тела в форме прямоугольного параллелепипеда в атмосфере планеты. С помощью разработанной авторами модели взаимодействия тела с атмосферой и его фрагментации проведены расчеты на примере Сихотэ-Алинского метеороида. Их результаты близки к аналогичным для сферического метеороида и удовлетворительно согласуются с фактическими данными. Это позволило констатировать, что влияние формы малого космического тела на процесс его фрагментации в атмосфере планеты несущественно.

Одна из актуальных проблем современности — космическая безопасность Земли. Ее жизненная важность (вспомним масштабы Аризонской астроблемы или Тунгусского «Дива») обуславливает неослабевающее внимание к ней (см., например, [1–7]). При этом интересен и такой ее аспект, как фрагментация малого космического тела (МКТ) в атмосфере планеты с точки зрения прогнозирования последствий. Учитывая скоротечность явления и аблацию достаточно тонких наружных слоев МКТ, температуру в его основном объеме следует полагать низкой, поэтому речь может идти о хрупком разрушении. Фрагментация МКТ до последнего времени рассматривается на основе теорий прочности, принятых в сопротивлении материалов (см., например, [1–4]). С позиций современной механики разрушения с этим нельзя согласиться. В [5–7] авторы предложили альтернативную модель фрагментации МКТ, основанную на энергетическом подходе механики разрушения.

Во второй половине XX в. в механике разрушения произошел коренной пересмотр причин хрупкого разрушения. Традиционные критерии разрушения, принятые со времен Галилея, такие как критические значения напряжения и деформации (или их комбинации), не позволяли корректно описывать разрушение и были заменены новыми, основанными на энергетических соотношениях. Исторически в качестве критерия хрупкого разрушения было принято критическое значение коэффициента интенсивности напряжения в устье трещины  $K_{IC} \sim \sqrt{EG_{IC}}$ , где  $E$  — модуль Юнга,  $G_{IC}$  — удельная работа по продвижению хрупкой трещины.

Смена критериев разрушения существенно усложнила описание самого процесса разрушения. В ряде случаев эти трудности удается преодолеть, используя интегральный подход [8], из которого при хрупком разрушении геометрически подобных тел следует, что

$$\sigma_{cr}\sqrt{L} = \text{const}, \quad (1)$$

где  $\sigma_{cr}$  — разрушающее напряжение,  $L$  — характерный размер объекта.

Условие (1) можно рассматривать как результат перехода критического значения коэффициента концентрации напряжений ( $K_C$ ) в устье трещины (длиной  $a$ ) к стационарному значению  $K_{IC}$ <sup>1)</sup>. В самом деле, параметры  $K_{IC}$ ,  $\sigma_{cr}$ ,  $L$  и  $a$  связаны соотношением

$$K_{IC} = \sigma_{cr}\sqrt{af(L/a)}. \quad (2)$$

При геометрическом подобии образцов  $L/a = \text{const}$  и соотношение (2) переходит в (1). Отметим, что в реальных объектах роль опасного дефекта весьма часто выполняет область концентратора напряжения, инициирующего разрушение. В таком случае при геометрическом подобии объектов соотношение характерных размеров этой области и объекта будет постоянным, и для описания разрушения последнего применим интегральный подход [8].

Из (1) следует, что при разрушениях геометрически подобных объектов должны проявляться сильные масштабные эффекты энер-

<sup>1)</sup> Одним из способов определения  $K_{IC}$  является разрушение геометрически подобных образцов материала при их внекентренном растяжении [9]. При достаточном увеличении характерного размера образца его разрушение переходит в хрупкое, а величина  $K_C$  уменьшается, приближаясь к своему постоянному значению  $K_{IC}$ .

гетической природы в виде резкого уменьшения прочности больших объектов и снижения  $\sigma_{cr}$  до уровня упругих напряжений.

Реальность и опасность сильных масштабных эффектов при разрушении неоднократно подтверждалась на практике<sup>2)</sup> (см., например, [11]).

Рассматривая с этой точки зрения процесс взаимодействия МКТ с атмосферой, приходим к выводу о возможности его последовательной фрагментации на всё более мелкие части, причем акты разрушения должны быть разделены в пространстве и времени. В самом деле, если по мере уменьшения фрагментов их хрупкая прочность в соответствии с (1) резко повышается, то и их разрушение возможно только при значительном увеличении аэrodинамической нагрузки, т. е. после погружения в существенно более плотные слои атмосферы. И так до тех пор, пока прочность достаточно мелкого фрагмента не станет непреодолимой для аэrodинамических нагрузок. На основе этой идеи авторы разработали модель многоэтапной фрагментации МКТ и опубликовали результаты расчетов на примерах Тунгусского [5, 6] и Сихотэ-Алинского [7] метеоридов. При этом для использования формулы (1), строго справедливой при соблюдении геометрического подобия объектов, предполагалось, что форма МКТ и его фрагментов сферическая. Считалось также, что разрушаясь они каждый раз делятся на две равные части. Данное допущение оправдано относительно медленным нагружением МКТ и его фрагментов (по сравнению с временем прохождения трещины), что подтверждается расчетами. Эти предположения позволили оценить количество этапов фрагментации, а также размеры и количество фрагментов. Следует отметить, что результаты [5–7] существенно отличаются от результатов предшествующих публикаций на эту тему [3, 4], в которых разрушение МКТ рассматривалось как однократная интенсивная фрагментация (причем ни количество, ни размеры фрагментов не поддавались опреде-

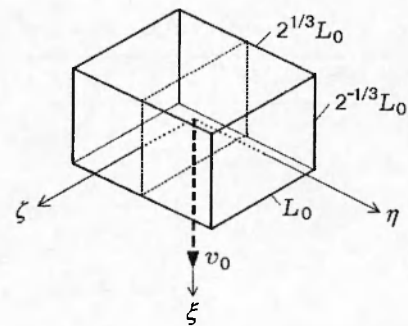


Рис. 1. Схема МКТ в форме прямоугольного параллелепипеда

лению). При этом результаты [7] (см. таблицу) не противоречат данным исследований индивидуальных фрагментов Сихотэ-Алинского метеорида [12], согласно которым «...были выделены три главные стадии дробления, протекавшего при трех разных скоростях движения...».

Судя по фотографиям астероидов и ядра кометы Галлея, многие из этих МКТ продолговаты и угловаты, т. е. по форме нечто среднее между сферой и параллелепипедом. Поскольку сферическая форма уже изучалась [5–7], рассмотрим МКТ в иной крайней форме — прямоугольного параллелепипеда с базовым размером  $L_0$  (рис. 1). Если предположить, что его ребра соотносятся как  $2^{-1/3}L_0 : L_0 : 2^{1/3}L_0$  и при разрушении он и его фрагменты каждый раз делятся по наименьшему попечному сечению (площадью соответственно  $2^{-1/3}L_0^2, \dots, 2^{-1/3}L_{k-1}^2$ ) на две равные части с базовыми размерами  $L_1 = 2^{-1/3}L_0, L_2 = 2^{-1/3}L_1, \dots, L_k = 2^{-1/3}L_{k-1}$  ( $k \leq n$  — номер акта дробления,  $n$  — номер последнего акта дробления), то будем иметь дело с геометрически подобными объектами и вправе применить вышеупомянутый интегральный подход механики разрушения. Выбрав вместо сферы параллелепипед, оценим влияние формы МКТ на результаты расчетов и уйдем от произвольного допущения, что фрагменты сферы после ее деления пополам остаются сферическими. Заметим, что принятое соотношение ребер не слишком далеко от наиболее распространенного соотношения размеров железных метеоритов (1,5 : 1 : 0,5 [13]).

Наиболее благоприятна для разрушения ситуация, когда площадь лобовой поверхности МКТ или его фрагмента максимальна (соответственно  $2^{1/3}L_0^2$  или  $2^{1/3}L_k^2$ ). Акты дробления

<sup>2)</sup>Общеизвестны случаи разрушений без видимых причин мостов, морских судов, летательных аппаратов и других крупномасштабных сооружений. Известно [10], что однажды на глазах Галилея внезапно разрушилась новая галера, имевшая вдвое большие размеры, чем ее очень надежный прототип. Загадка этого феномена волновала его долгие годы и привела к формулировке закона о явлении, известном ныне как «масштабный эффект при разрушении».

## Результаты расчетов для железного МКТ в форме сферы или параллелепипеда

| Форма МКТ  | $k$ | $z_k$ , км | $l_k$ , км | $\tau_k$ | $v_k$ , км/с | $m_k$ | $D_k$ или $L_k$ , м | $\delta U_k$ , % |
|--|-----|------------|------------|----------|--------------|-------|---------------------|------------------|
| $M = 100$ т, $v_0 = 20$ км/с, $\alpha = 40^\circ$      |     |            |            |          |              |       |                     |                  |
| Сфера [7]<br>( $D_0 = 3$ м,<br>$C_\xi = 1$ )           | 1   | 15,6       | —          | —        | 18,60        | 2     | 2,38                | 13,6             |
|  | 2   | 14,5       | 1,79       | 305,3    | 18,33        | 4     | 1,89                | 16,0             |
|  | 3   | 13,2       | 2,03       | 445,4    | 17,90        | 8     | 1,50                | 19,9             |
|  | 4   | 11,5       | 2,57       | 744,9    | 17,10        | 16    | 1,19                | 26,9             |
| Параллелепипед<br>( $L_0 = 2,34$ м,<br>$C_\xi = 1,5$ ) | 1   | 17,1       | —          | —        | 18,47        | 2     | 1,858               | 14,7             |
|  | 2   | 15,9       | 1,83       | 403,48   | 18,18        | 4     | 1,474               | 17,4             |
|  | 3   | 14,5       | 2,11       | 601,06   | 17,70        | 8     | 1,170               | 21,7             |
|  | 4   | 12,7       | 2,82       | 1068,72  | 16,74        | 16    | 0,929               | 29,9             |
| $M = 300$ т, $v_0 = 12$ км/с, $\alpha = 40^\circ$      |     |            |            |          |              |       |                     |                  |
| Сфера<br>( $D_0 = 4,19$ м,<br>$C_\xi = 1$ )            | 1   | 7,7        | —          | —        | 10,42        | 2     | 3,32                | 24,5             |
|  | 2   | 6,2        | 2,36       | 525,15   | 10,05        | 4     | 2,64                | 29,9             |
|  | 3   | 3,6        | 3,94       | 1223,72  | 9,08         | 8     | 2,09                | 42,7             |
| Параллелепипед<br>( $L_0 = 3,38$ м,<br>$C_\xi = 1,5$ ) | 1   | 9,3        | —          | —        | 10,38        | 2     | 2,68                | 25,2             |
|  | 2   | 7,8        | 2,41       | 671,16   | 9,98         | 4     | 2,13                | 30,9             |
|  | 3   | 4,9        | 4,38       | 1725,70  | 8,87         | 8     | 1,69                | 45,4             |

МКТ и его фрагментов делят траекторию полета на соответствующие этапы длиной  $l_k$ . После каждого акта дробления объемы фрагментов будут уменьшаться в два раза, а линейные размеры в  $\sqrt[3]{2}$  раз.

При взаимодействии с атмосферой площадь миделя и объем сферического МКТ относятся как  $1,5/D_0$ , у МКТ в форме параллелепипеда, расположенного, как показано на рис. 1, — как  $2^{1/3}/L_0$ , а в двух других его положениях — как  $1/L_0$  и  $1/2^{1/3}L_0$ . Учитывая возможное вращение МКТ, примем среднее значение этого отношения  $\approx 1,018/L_0$ . При этом скорость МКТ на расстоянии  $z$  до поверхности планеты определяется соотношением

$$v(z) = v_0 \exp[-A \exp(-x)], \quad (3)$$

где  $v_0$  — начальная скорость (при  $z = \infty$ );  $A = \frac{0,509 C_\xi \rho_0 H}{\sin \alpha \rho_b L_0}$ ,  $\alpha$  — угол наклона траектории к горизонту,  $\rho_0$  — плотность атмосферы при  $z = 0$ ,  $\rho_b$  — плотность МКТ,  $H$  — толщина стандартной атмосферы,  $C_\xi$  — коэффициент аэродинамического сопротивления в направлении движения;  $x = z/H$ . Формула (3) есть решение дифференциального уравне-

ния движения МКТ в атмосфере, которая, следуя [3], принята изотермической с плотностью  $\rho_a = \rho_0 \exp(-x)$ :

$$\frac{dv}{dt} = -C_\xi \frac{0,509}{L_0} \frac{\rho_0}{\rho_b} v^2 \exp(-x). \quad (4)$$

Поскольку

$$dt = -\frac{dz}{v \sin \alpha} = -\frac{H dx}{v \sin \alpha},$$

уравнение (4) переходит в (3).

Пусть первое разрушение МКТ ( $k = 1$ ) произошло на высоте  $z_1$  при скорости  $v_1$ . В данный момент запас упругой энергии в объеме МКТ  $\sim \sigma_{cr,1}^2 L_0^3 / 2E$ , где  $\sigma_{cr,1} \sim p_1 = \rho_{a,1} v_1^2 / 2$ ,  $p_1$  — лобовое давление<sup>3)</sup>,  $E$  — модуль Юнга для материала МКТ,  $\rho_{a,1} = \rho_0 \exp(-x_1)$  — плотность атмосферы. Работа разрыва МКТ (по минимальному сечению)  $\sim K_{IC}^2 L_0^2 / 2^{1/3} E$ .

<sup>3)</sup>Формула для  $p_1$  принята как в работе [7]. К сожалению, в [7] в левых частях равенств (5)–(7) и в знаменателе формулы для константы  $A$  потеряны множитель 0,25. Однако в конечных формулах (10)–(13) эта погрешность отсутствует, и результаты расчетов [7] верны.

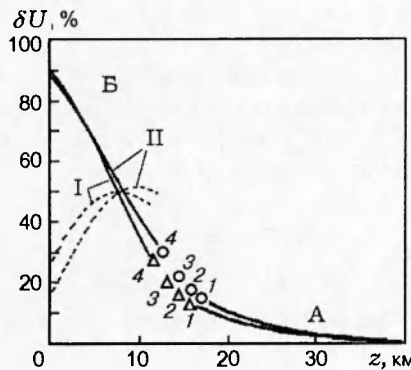


Рис. 2. Потеря энергии метеороида при торможении в атмосфере:

$M = 100$  т,  $v_0 = 20$  км/с,  $\alpha = 40^\circ$ ; I — сфера, II — параллелепипед; сплошные линии —  $\delta U$ , штриховые —  $\delta U'$ ; точки 1–4 соответствуют актам фрагментации метеороида

Баланс упругой энергии и работы разрыва дает необходимое условие разрушения на первом этапе, откуда с учетом (3) следуют формулы для определения координаты и скорости МКТ в момент его разрушения:

$$x_1 + 2A \exp(-x_1) + 0,5 \ln(B/v_0^4) = 0, \quad (5)$$

$$v_1 = v_0 \exp[-A \exp(-x_1)], \quad (6)$$

где  $B = 2^{8/3} K_{IC}^2 / \rho_b^2 L_0$ . Для следующих этапов ( $k = 2, 3, \dots, n$ ) необходимое условие разрушения и соответствующие решения (4) приводят к рекуррентным формулам:

$$x_k + 2A 2^{(k-1)/3} [\exp(-x_k) - \exp(-x_{k-1})] + 0,5 \ln \left( 2^{(k-1)/3} B / v_{k-1}^4 \right) = 0, \quad (7)$$

$$v_k = v_{k-1} \exp \{ -2^{(k-1)/3} A [\exp(-x_k) - \exp(-x_{k-1})] \}. \quad (8)$$

Отметим, что формулы (5)–(8) — близкие аналоги формул (8)–(11) из [6] и (10)–(13) из [7], полученных для сферического МКТ.

Для расчетов примем исходные данные Сихотэ-Алинского метеороида из [7]: масса  $M = 100$  т,  $\rho_b = 7800$  кг/м<sup>3</sup> (железо),  $K_{IC}^2 = 10^{15}$  Па<sup>2</sup> · м,  $v_0 = 20$  км/с; в случае параллелепипеда с  $L_0 \approx 2,34$  м  $C_\xi = 1,5$ . Для атмосферы Земли:  $H = 8000$  м,  $\rho_0 = 1,29$  кг/м<sup>3</sup>. Результаты расчетов и аналогичные данные для сферы ( $D_0 = 3$  м,  $C_\xi = 1$ ) [7] приведены в таблице, где  $\tau_k = (l_k/v_k)/(L_k/c_b)$  — безразмерные интервалы времени на соответствующих

участках траектории между актами дробления МКТ  $l_k = (z_{k-1} - z_k) / \sin \alpha$ ,  $c_b = 5,9$  км/с — «объемная» скорость звука в материале МКТ;  $m_k$  — число фрагментов;  $\delta U_k = 1 - (v_k/v_0)^2$  — потеря кинетической энергии после  $k$ -го этапа. Зависимости потери энергии метеороида  $\delta U(z) = 1 - (v/v_0)^2$  приведены на рис. 2. Согласно [14] наиболее вероятными являются значения  $M = 300$  т и  $v_0 = 12$  км/с. Результаты расчетов при этих данных также приведены в таблице.

Как следует из таблицы и рис. 2, взаимодействие метеороида (независимо от формы) с атмосферой характеризуется его квазистатическим ( $\tau_k > 300$ ) нагружением на стадии А, заканчивающейся интенсивной 4- или 3-кратной фрагментацией (в среднем через  $l_k \approx 2 \div 3$  км). Расчетное количество актов фрагментации не противоречит вышеупомянутым данным [12]. Различия расчетных высот фрагментации МКТ разной формы представляются несущественными, хотя следует отметить, что разрушение сферы начинается и заканчивается на несколько меньших высотах, чем разрушение параллелепипеда. Это можно объяснить ее меньшим лобовым сопротивлением ( $C_\xi = 1$  против 1,5 у параллелепипеда при близких площадях миделя) и более благоприятным для прочности соотношением площадей миделя и поверхности разрушения (1 против  $\approx 1,6$ ), вследствие чего разрушающая нагрузка на параллелепипед достигается в более высоких слоях атмосферы. Рассмотрим метеороиды с  $M = 100$  и 300 т.

По окончании фрагментации следует стадия Б, на которой происходит дальнейшее торможение роя образовавшихся фрагментов и удар их о грунт со скоростью

$$v_{imp} = v_n \exp \{ -2^{n/3} A [1 - \exp(-x_n)] \}. \quad (9)$$

На стадии Б «перекачка» энергии метеороида в ударную волну происходит согласно формуле

$$\delta U_B = 1 - \left( \frac{v_n}{v_0} \right)^2 - \left( \frac{v_n}{v_0} \right)^2 \times \exp \{ -2^{1+n/3} A [\exp(-x) - \exp(-x_n)] \}. \quad (10)$$

В случае  $M = 100$  т к моменту удара о грунт ( $x = 0$ )  $\delta U_B$  составляет  $\approx 58\%$  (параллелепипед) и  $\approx 63\%$  (сфера) от начальной энергии  $\delta U_0 = M v_0^2 / 2$ , а при  $M = 300$  т для обеих геометрий  $\delta U_B \approx 24\%$ . При этом интенсивность

«перекачки» энергии в ударную волну следует зависимости:

$$\delta U'_B(z) \sim \frac{d(\delta U_B)}{dx} = -\left(\frac{\frac{n}{n_0}}{v_0}\right)^2 2^{1+n/3} A \exp\{2^{1+n/3} A[\exp(-x_n) - \exp(-x)]\} \exp(-x), \quad (11)$$

где  $dx \sim dz < 0$ . В случае  $M = 100$  т пик зависимости  $\delta U'_B(z)$ , создающий эффект «взрыва» метеороида, достигается на высоте  $H \ln(2^{1+n/3} A) \approx 10$  км (параллелепипед) и  $\approx 8$  км (сфера) (см. рис. 2), а при  $M = 300$  т высоты соответственно равны  $\approx 5$  и  $\approx 3$  км. Эти результаты не противоречат независимым оценкам, по которым разрушение Сихотэ-Алинского метеороида произошло на высоте от 5 до 10 км.

При  $M = 100$  т расчетная скорость удара фрагментов метеороида о грунт  $\approx 6,8$  км/с (параллелепипед) и  $\approx 6,4$  км/с (сфера), а при  $M = 300$  т — соответственно  $\approx 6,7$  и  $\approx 6,9$  км/с. Энергия удара одного фрагмента эквивалентна энергии взрыва соответственно  $\approx 34$  и  $\approx 30$  т тротила ( $M = 100$  т), 197 и 213 т ( $M = 300$  т). По М. Р. Дэнсу (см. [15]) этих значений энергий достаточно для образования кратеров диаметром  $\approx 38$  и  $\approx 36$  м ( $M = 100$  т),  $\approx 63$  и  $\approx 64$  м ( $M = 300$  т). При  $M = 100$  т указанные диаметры близки к фактическим диаметрам крупных кратеров (от 9 до 26 м). Вместе с тем расчетное число фрагментов ( $m_k = 16$  при  $M = 100$  т и  $m_k = 8$  при  $M = 300$  т) существенно меньше, чем обнаружено на кратерном поле (всего 24 кратера и  $\approx 200$  воронок и лунок). Большее фактическое число фрагментов обусловлено, по-видимому, пониженней прочностью МКТ из-за вполне вероятной неоднородности его структуры, учесть которую не представляется возможным.

Как следует из [7] и настоящей работы, рассмотренная модель фрагментации относится к телам из гомогенных материалов. Однако на самом деле размеры фрагментов будут характеризоваться некоторой дисперсией, вследствие неизбежного разброса физико-механических свойств материала в объеме реального метеороида. При этом нельзя исключить, что на ряде этапов разрушения метеороид или его фрагменты будут распадаться не на две, а на три части. Естественно ожидать, что статистическое распределение фрагментов по размерам фактически будет асимметричным, с резким ограничением в области больших размеров.

Итак, в рамках принятых допущений можно констатировать, что различия расчетных результатов взаимодействия МКТ исследованных форм (сфера или прямоугольный параллелепипед) с атмосферой планеты, при прочих равных условиях, несущественны.

## ЛИТЕРАТУРА

1. Фадеенко Ю. И. Разрушение метеорных тел в атмосфере // Физика горения и взрыва. 1967. Т. 3, № 2. С. 278–280.
2. Григорян С. С. К вопросу о природе Тунгусского метеорита // Докл. АН СССР. 1976. Т. 231, № 1. С. 57–60.
3. Григорян С. С. О движении и разрушении метеоритов в атмосферах планет // Косм. исследования. 1979. Т. 17, вып. 6. С. 875–893.
4. Коробейников В. П., Власов В. И., Волков Д. Б. Моделирование разрушения космических тел при движении в атмосферах планет // Мат. моделирование. 1994. Т. 6, № 8. С. 61–75.
5. Иванов А. Г., Рыжанский В. А. Возможная природа взрыва Тунгусского метеорита и распада кометы Шумейкеров — Леви // Физика горения и взрыва. 1995. Т. 31, № 6. С. 117–124. (Поправка: Физика горения и взрыва. 1996. № 3).
6. Иванов А. Г., Рыжанский В. А. Фрагментация малого небесного тела при его взаимодействии с атмосферой планеты // Докл. РАН. 1997. Т. 353, № 3. С. 334–337.
7. Иванов А. Г., Рыжанский В. А. Анализ процесса дробления Сихотэ-Алинского метеорита с позиций механики разрушения // Астроном. вестн. 1998. Т. 32, № 2. С. 164–168.
8. Иванов А. Г. Динамическое разрушение и масштабные эффекты (обзор) // ПМТФ. 1994. Т. 35, № 3. С. 116–131.
9. Вессел Э., Кларк У., Прайл У. Оценка прочности конструкционных элементов с учетом механики разрушения // Новые методы оценки сопротивления металлов хрупкому разрушению. М.: Мир, 1972. С. 213–244.
10. Парсон В. З. Механика разрушения: от теории к практике. М.: Наука, 1990. С. 20.
11. Иванов А. Г., Учаев А. А., Спирина В. Д. и др. Импульсное разрушение геометрически подобных объектов // Докл. АН СССР. 1981. Т. 261, № 4. С. 868–873.
12. Кринов Е. Л. Железный дождь. М.: Наука, 1981.
13. Зоткин И. Т., Цветков В. И. О форме железных метеороидов // Астроном. вестн. 1983. Т. 17, № 1. С. 60–62.

14. Немчинов И. В., Попова О. П. Анализ Сихотэ-Алинского события 1947 г. и его сравнение с явлением 1 февраля 1994 г. // Астроном. вестн. 1997. Т. 31, № 5. С. 458–471.
15. Иванов Б. А. Успехи механики кратерообразования // Механика. Новое в зарубежной науке. Сер. 26. Удар, взрыв и разрушение. М.: Мир, 1981. С. 231.

*Поступила в редакцию 21/VII 1998 г.,  
в окончательном варианте — 12/XI 1998 г.*

---